

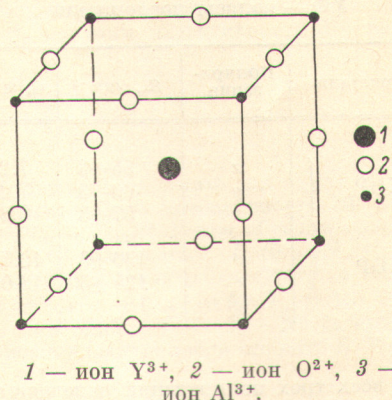
Гамильтониан, как обычно представляется в виде суммы потенциала кристаллического поля (1) и спин-орбитального взаимодействия  $\lambda$  (1s), где  $\lambda=644 \text{ см}^{-1}$  [2].

Вследствие низкой симметрии кристаллического поля термы  $^2F_{5/2}$  и  $^2F_{7/2}$  расщепляются на семь уровней энергии, каждый из которых двукратно вырожден (крамерово вырождение). Всем семи уровням соответствует один тип симметрии  $\Gamma_3$ .

Таблица 2

Расчетные и экспериментальные значения величин кристаллических расщеплений (в  $\text{см}^{-1}$ )

Уровни энергии	Расчет	Эксперимент [5]
$^2F_{7/2}$	3536	3250
	3212	2695
	2715	2485
	2191	2085
$^2F_{5/2}$	1100	—
	639	—
	0	—



Расчет предусматривает вычисление матричных элементов гамильтониана и диагонализацию матрицы седьмого порядка.

Результаты расчета представлены в табл. 2. Там же приведены экспериментальные значения штарковских расщеплений терма  $^2F_{7/2}$ .

### Литература

- [1] W. J. Manthey, D. S. McClure. Second National Conference of Crystal Growth. Abstracts. Princeton, N. J. USA, July, 1972, p. 3.
- [2] Н. В. Старостин, П. Ф. Груздев, В. А. Ганин, Т. Е. Чеботарева. Опт. и спектр., 35, 476, 1973.
- [3] T. Hoshina, S. Kubonawa. J. Phys. Soc. Japan, 31, 828, 1971; 32, 771, 1972.
- [4] Н. В. Старостин, С. А. Титов. ФТТ, 15, 3398, 1973; Опт. и спектр., 37, 276, 1974.
- [5] M. J. Webber. J. Appl. Phys., 44, 3205, 1973.
- [6] R. W. C. Wyckoff. Crystal Structures. New York, 1964, v. 2, p. 405.

Поступило в Редакцию 14 марта 1974 г.

УДК 548.0 : 535+535.215.9

## РАСЧЕТ РЕЗОНАНСНЫХ ХАРАКТЕРИСТИК В КРИСТАЛЛЕ БИФТАЛАТА КАЛИЯ

И. Н. Калинкина

Частотная зависимость нелинейной восприимчивости для полупроводников и диэлектриков рассмотрена в ряде теоретических работ [1-4]. При приближении частоты внешнего поля к порогу собственного поглощения в кристалле возникает резонансная поляризация и коэффициент нелинейной восприимчивости резко возрастает. Экспериментально такое поведение  $\chi(\omega)$  было обнаружено Бломбергеном для ряда полупроводников [3]. Однако определить экспериментально величину резонансной частоты по спектроскопическим данным можно только в узких линиях поглощения. Практически большинство их имеет значительную ширину. С другой стороны, результаты теоретических расчетов вблизи резонанса чрезвычайно чувствительны к величине  $\omega_0$ , что особенно сказывается при сравнении расчетных резонансных характеристик с экспериментальными.

В исследованном нами кристалле бифталата калия (КБР) [5] частота второй гармоники (ВГ) от Не—Не лазера с  $\lambda=0.63 \text{ мкм}$  ( $\lambda_{2\omega}=0.315 \text{ мкм}$ ) оказалась близка к краю-

собственной полосы поглощения кристалла  $\lambda_0=0.31$  мкм. Непосредственное рассмотрение дисперсии коэффициента поглощения позволяло сделать лишь грубую оценку величины  $\omega_0$ , которая не могла быть использована для расчета резонансных характеристик. Для получения более надежной величины  $\omega_0$  мы исследовали дисперсию показателя преломления для света, поляризованного по каждой из трех главных осей индикаторы.

### Параметры осцилляторов УФ — полосы поглощения

Кристалл	Поляризация	$S_0$ , $\text{МКМ}^{-2}$	$\varepsilon_0$ , эв
KBP	$x$	$55 \pm 3$	7.2
	$y$	$60 \pm 3$	7.2
	$z$	$57 \pm 3$	8.8
KDP	$o$	$130 \pm 3$	12.7
	$e$	$125 \pm 3$	13.0

для всех трех поляризаций падающего света. Эти параметры приведены в таблице. Там же помещены соответствующие величины для кристалла KDP, вычисленные по данным [7]. Собственная полоса поглощения KDP лежит в области более коротких длин волн [8] и частота, на которой производились относительные измерения коэффициентов нелинейной восприимчивости KBP и KDP, и интенсивности ВГ далеки от резонансных для кристалла KDP.

При расчете нелинейной восприимчивости в кристалле KBP была использована модель ангармонического осциллятора для электронов, движущихся в кулоновском поле кристаллической решетки. Для каждой поляризации движение электронов можно описать уравнением [9]

$$m\ddot{x} + m\omega_0^2 x + mvx^2 = e^2 E e^{-i\omega t}, \quad (2)$$

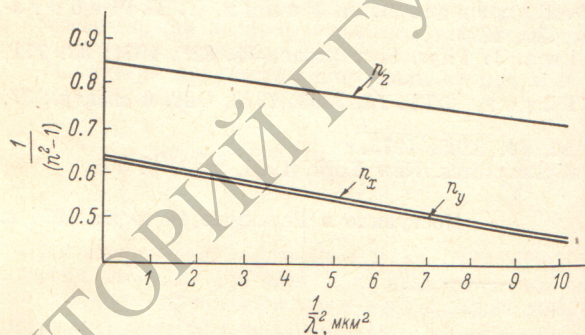


Рис. 1. Дисперсия показателей преломления для KBP.

где  $m vx^2$  — нелинейная сила. Полагая  $P^{NL}(2\omega) = \chi(2\omega, \omega, \omega) E^2(\omega)$ , можно получить выражение для компоненты тензора

$$\chi(2\omega, \omega, \omega) = -\frac{N(e^3/m^2)v}{(\omega_0^2 - \omega^2)^2 (\omega_0^2 - 4\omega^2)}. \quad (3)$$

Для расчета дисперсии  $\chi_{\text{KBP}}(\omega)$  были использованы резонансные величины, приведенные в таблице, и построена зависимость  $\chi_{\text{KBP}}$  от энергии фотона падающего излучения ( $\varepsilon = h\omega$ ). На рис. 2 эта зависимость для удобства сравнения с экспериментом дана в относительных единицах  $\chi_{\text{KBP}}/\chi_{\text{KDP}}$  от  $\varepsilon$  (кривая 2). Нелинейность  $v$  в уравнении (2) принятая одинаковой для обоих кристаллов, что позволяет лишь грубо оценить соотношение интенсивностей вторых гармоник в этих кристаллах. По квантово-механическим оценкам [2, 3] эта зависимость от частоты еще более слабая (кривая 1). Экспериментальные величины  $\chi_{311}$  и  $\chi_{322}$ , полученные для бифталата калия с  $\lambda_{2\omega} =$

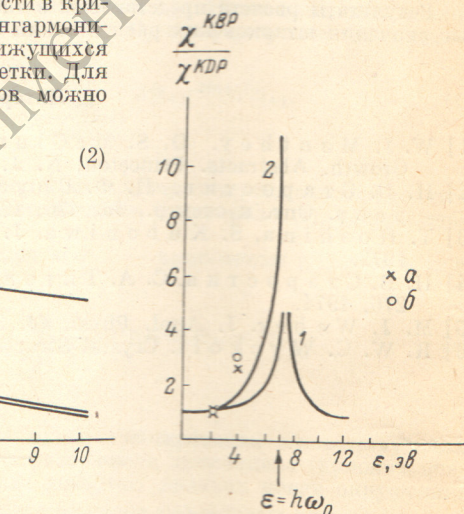


Рис. 2. Дисперсия относительной восприимчивости.

a —  $\chi_{311}$ , б —  $\chi_{322}$ . 1 — квантово-механическая модель, 2 — осцилляторная модель.

$\lambda_{2\omega}=0.57$  мкм и  $\lambda_{2\omega}=0.31$  мкм лежат несколько выше обеих расчетных кривых, однако, значительно ближе к кривой 1. Заметим, что для полупроводников [3] экспериментальные значения коэффициентов нелинейной восприимчивости оказались также существенно выше, чем предсказывалось квантовомеханической теорией, и согласие можно было считать только качественным.

Интенсивность второй гармоники на основе полуклассической теории излучения имеет вид:  $I=\omega^2/2\pi c (P_0)^2$ , где  $P_0=ex (2\omega)$  — нелинейная поляризация в кристалле. Найдя нелинейное смещение из уравнения (2), получим интенсивность ВГ, равной

$$I_x = \frac{\omega^2 e^6 v^2 E_x^4}{2\pi c m^4 (\omega_0^2 - \omega^2)^4 (\omega_0^2 - 4\omega^2)^2}. \quad (4)$$

Подставляя величины, соответствующие основным частотам для  $\lambda_\omega=1.15$  мкм,  $\lambda_\omega=0.63$  мкм и  $\lambda_\omega=0.17$  мкм, мы оценили относительную интенсивность ВГ в плоскости  $zx$ , где  $I_y \sim \chi_{322}^2 E^4$  и в плоскости  $zy$ , где  $I_x \sim \chi_{311}^2 E^4$ . Таким образом, возрастание интенсивности от  $\lambda_\omega=1.15$  мкм до  $\lambda_\omega=0.63$  мкм равно:  $I_x(0.63)/I_x(1.15) = I_y(0.63)/I_y(1.15) \approx 60$ . Эта величина удовлетворительно согласуется с найденным экспериментально увеличением интенсивности ВГ  $I_x(0.63)/I_x(1.15) \approx 100$ ,  $I_y(0.63)/I_y(1.15) \approx 90$  на линиях 0.63 и 1.15 мкм одномодовых Не—Не лазеров [5].

В заключение автор пользуется приятной возможностью поблагодарить Б. Н. Грушникова за ряд ценных советов.

### Литература

- [1] B. Lax, Y. G. Mavroides, D. F. Edwards. Phys. Rev. Lett., 8, 166, 1962.
- [2] B. Loudon. Proc. Phys. Soc., 80, 952, 1962.
- [3] R. K. Chahg, J. Duccing, W. Bloembergen. Phys. Rev. Lett., 15, 415, 1965.
- [4] Л. В. Келдыш. Сб. «Нелинейная оптика», 6. Изд. «Наука», Новосибирск, 1968.
- [5] Л. М. Беляев, Г. С. Беликова, А. Б. Гильварг, М. П. Головей, И. Н. Калинкина, Г. И. Коносуров. Опт. и спектр., 29, 985, 1970.
- [6] М. Борн, Э. Вольф. Основы оптики. Изд. «Наука», М., 1970.
- [7] F. Zernike. J. Opt. Soc. Am., 54, 1215, 1964.
- [8] R. C. Miller. Appl. Phys. Lett., 5, 17, 1964.
- [9] Н. Бломберген. Нелинейная оптика. Изд. «Мир», М., 1966.

Поступило в Редакцию 16 апреля 1974 г.

УДК 535.372

## ОПРЕДЕЛЕНИЕ ПОЛОЖЕНИЯ ТРИПЛЕТНОГО УРОВНЯ ПО ЗАМЕДЛЕННОЙ ТЕРМИЧЕСКИ АКТИВИРОВАННОЙ ФЛУОРЕСЦЕНЦИИ

B. A. Толкачев

В работе [1] получено соотношение, связывающее спектры поглощения и испускания, когда в переходах участвуют более двух электронных состояний при условии установления равновесного распределения по колебательным энергиям в пределах каждого электронного состояния. Указывалось, что если в молекуле два или более нижних электронных возбужденных состояния связаны между собой двусторонней быстрой безызлучательной конверсией, скорость которой гораздо выше скорости других процессов их распада, то соотношение между спектрами поглощения и испускания будет иметь вид

$$\frac{Z^*}{Z_0} \frac{W_\nu}{x_\nu} \frac{1}{\tau_0} \exp\left(-\frac{E_0^* - E_0}{kT}\right) = \frac{8\pi\nu^2}{v^2} \exp\left(-\frac{\hbar\nu}{kT}\right), \quad (1)$$

где  $Z_0$  и  $Z^*$  — статистические суммы основного и образованного объединением за счет внутренней конверсии между отдельными электронными состояниями возбужденного состояния,  $E_0$  и  $E_0^*$  — чистоэлектронные энергии основного и нижнего электронного в объединенном возбужденном состоянии,  $W_\nu$  — квантовая интенсивность люминесценции в частоте  $\nu$  суммарного спектра испускания, нормированного по площади